# 地盤モデルの堅牢な構築手法を統合した都市の地震被害シミュレーションの適用例

香川大学 正会員 〇本山紘希 金田義行 フェロー会員 白木渡 非会員 藤澤一仁 鹿島建設 正会員 飯山かほり 海洋研究開発機構 フェロー会員 堀宗朗

#### 1. 目的

想定された地震に対し、都市全域の地震動と建物の地震応答を数値シミュレーションにより評価する手法が開発されている。本研究で使用する統合地震シミュレータ(Integrated Earthquake Simulator, IES)もその1つであり、表層地盤と建物の地震応答解析モジュールを有し、高性能計算を利用して、一度に数10万棟の建物被害の評価を可能としている例えば1)。IES の特徴は解析モデルの自動構築であり、建物に関しては、形状や構造特性に関する複数のデータを関連付けて地震応答解析モジュールに対応した解析モデルを自動構築する2)。一方で、地盤のモデルに関しては、1次元のFEMによる非線形解析が可能であるが、これに対応したモデルは、地層を単純化したものとなっていた。これは、IESが広域の3次元FEMを念頭に開発されていたためである。本論文では、建物の地点毎に1次元の成層地盤モデルを自動構築する手法を示す。本手法は、周辺のボーリングデータを補完する伝統的な方法であるが、自動構築の他、不整合なボーリングデータからも地盤モデルを構築可能な堅牢性を特徴としている。さらに、開発手法を統合したIESを用いた都市の地震被害シミュレーションの適用例を示す。高松市に対象領域を設定し、地震動・地震応答シミュレーションを行う。

# 2. 地盤モデルの自動構築手法

IES に実装された 1 次元地盤応答解析モジュールは、地層を砂質土か粘性土に分け、N 値などから地盤の物性を与えて地震応答解析を実施する.これを踏まえ、データの前処理として、ボーリングデータは、砂質土層と粘土層に分類して整理する.整理されたボーリングデータを補間して、建物の地点毎の地盤を推定する.

最初に必要となるのは、ボーリングデータの層序の設定である。これは、隣接するボーリングデータでも層序が整合しないことが多いからである。層序の設定手法は、文献  $^3$ の手法を用いる。これは、全ボーリングデータに整合する層序を設定する手法である。例えば、 $^2$  つの地点のボーリングデータの場合、地点  $^1$  の層序が上から(A, B, C)であり、地点  $^2$  の層序が (A, B, D, E)である場合、層序を(A, B, C, D, E)と設定する。地点  $^1$  では、 $^1$  での下に層厚  $^1$  の  $^1$  と  $^1$  を  $^1$  の  $^1$  の  $^1$  と  $^1$  の  $^1$  の  $^1$  の  $^1$  と  $^1$  の  $^1$ 

次に必要になるのは、層厚の補間である。補間手法としては、通常、クリギングやグリッドアルゴリズムによる補間が用いられる。この補間は、原理的に該当地点の近くに比較的多くのボーリングデータが利用できる場合が有効である。しかし、本研究が対象とする都市全体では、ボーリングデータの空間分布に粗密があり、補間の質が一様とはならない。また、不整合のボーリングデータの場合、層数が多くなるため、層厚が極端に小さくなる場合もある。付近の少数のボーリングデータの線形補間が合理的であると考えられる。

上記を踏まえ、本研究での各地点の地盤モデルの作成方法は、①対象地点を囲む付近の M 地点のボーリングデータを抽出、②M 地点のボーリングデータ全てに整合する層構成を領域の層構成として設定、③線形補間により層厚を決定(N 値などは距離による重みを付けた平均値として設定)、④得られた地点の地盤情報から地盤モデルを作成、という手順とする。各々の手順が簡便であるため、完全な自動化が期待できる。なお、本研究では、簡単のため M=3 とした。これは、面を補間する最小の数である。また、該当地点を囲む 3 点のボーリングデータが無い場合には、例外処理を適宜設定する。

キーワード 都市地震被害シミュレーション,地盤モデルの自動構築,モデルの堅牢な構築手法連絡先〒760-8521 香川県高松市幸町1-1 香川大学IECMS TEL087-832-1749

## 3. 地震動シミュレーションへの適用例

図 1 に本研究で地震動と建物の地震応答を計算するエリアと使 用するボーリングデータの分布を示す. 高松市北部の東西 10 km, 南北8 km 程度を対象としている. エリア内の建物約10万4千棟 の、建物毎の地震動と地震応答を計算する. 建物データには、建 物形状のデータを用いた4).

前章で説明した手法で、各建物の位置での 1 次元地盤モデルを 作成した. 該当地点を囲む 3 点のボーリングデータが存在する全 地点において自動的にモデルが構築できることを確認した. 図 2 に得られた地盤モデルから計算した地盤の周期の分布を示す. 詳 細はここでは省略するが、高松市のハザードマップと比較して現 実的な値であることを確認した.

想定南海トラフ地震の工学的基盤における強震動波形(内閣府 の南海トラフの巨大地震モデル検討会で作成されたデータ,5)より 取得)を用いて、地震動と建物の地震応答を計算した. 上記で作 成した地盤モデルを用いて1次元 FEM の地震応答解析を行い、得 られた地表面の地震動を用いて建物の地震応答解析を行った. 図3 に建物の応答の可視化例を示す. 解析の全時刻について, 木造の 建物の損傷の分析をした. 図 4 に木造の建物の最大層間変形角の 分布を示す. 本解析では, 層間変形角が 1/100 を超える建物はなく, 木造の建物に大きな損傷が発生する可能性が低いことが示唆され る結果となった.一方で、比較的新しい建物を想定したモデル化 を行ったため、古い木造建物も考慮した評価は今後の課題である.

### 4. まとめ

都市の地震動シミュレーションのための 1 次元の地盤モデルの 構築手法について示した. 不整合のボーリングデータに対しても 堅牢にモデルが構築できる特徴がある. また, 本手法を都市の地 震動と建物の地震応答解析に適用した地震被害シミュレーション の事例を示した. 対象の全地点で現実的な地盤モデルが構築でき ることが確認できた. さらに、建物毎に地震動と地震応答を計算 した. 今後, 自治体の提供するハザードマップと比較し, 被災シ ナリオの高度化や災害対策構築について検討を行う.

### 参考文献

- 1)藤田ほか:多数の地震シナリオに対する高分解能な都市震災想定 のための HPC による基礎検討, 2013.
- 2)大谷ほか: 地震応答解析モデルの堅牢な自動構築のための床形状 判読手法の開発, 2014.
- 3)Yang et al.: Earthquake Simulation in Virtual Metropolis Using Strong Motion Simulator and Geographic Information System, 2002.
- 4)藤田ほか: 地震による建物被害を考慮した避難シミュレーション, 2015.

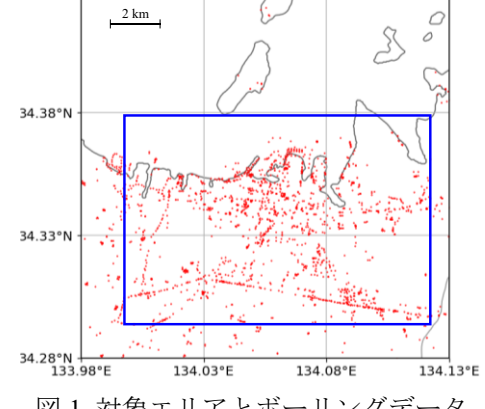


図1 対象エリアとボーリングデータ

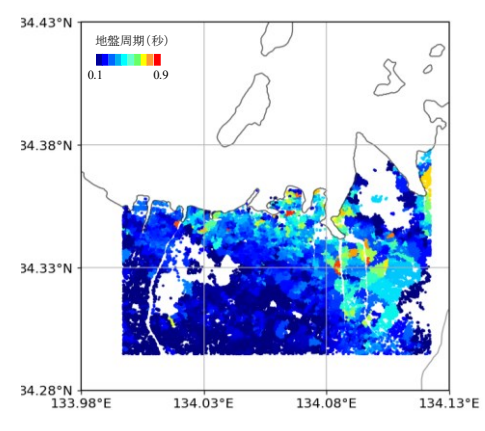


図2 地盤周期の分布

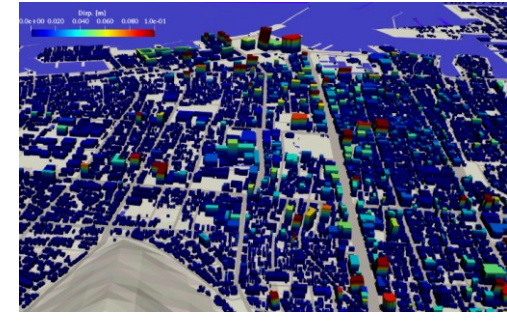


図3 建物の応答の可視化の例 (コンターは変位振幅を示す)

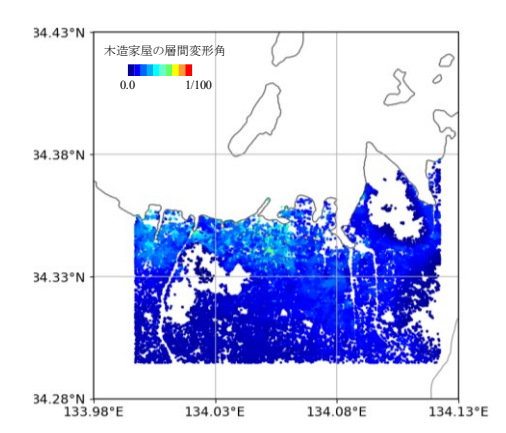


図 4 最大層間変形角の分布

5) G 空間情報センターホームページ https://www.geospatial.jp/ckan/dataset/1204 (2020 年 3 月 1 日確認).